



OTIMIZANDO A INFERÊNCIA FUZZY DA ABORDAGEM Int-FLBCC VIA ANÁLISE E GERAÇÃO DE AGREGADORES

ALESSANDRA GALVÃO¹; CECILIA BOTELHO²; RENATA REISER³; BRUNO MOURA⁴

¹Universidade Federal de Pelotas, Bacharelado Ciéncia da Computação – argalvao@inf.ufpel.edu.br

²Universidade Federal de Pelotas, Bacharelado Ciéncia da Computação–cscbotelho@inf.ufpel.edu.br

³Universidade Federal de Pelotas – reiser@inf.ufpel.edu.br

⁴Universidade Federal do Pampa – brunomoura@unipampa.edu.br

1. INTRODUÇÃO

Na Lógica Fuzzy (LF), destaca-se o desenvolvimento de sistemas flexíveis, sendo aplicada em muitas áreas integradas à computação. Ademais, a extensão da lógica fuzzy considerando diferentes classes de agregadores, bem como a busca por controladores fuzzy para atuar na tomada de decisão e consolidar uma solução baseada em múltiplos atributos ainda geram muitas discussões dada a dificuldade de se obter a melhor combinação entre funções para uniões e intersecções no contexto de sistemas de inferência fuzzy (Bustince et al., 2009).

O objetivo deste artigo é explorar métodos construtivos de gerar funções menos restritivas quanto a propriedades analíticas, como elemento neutro e continuidade. E, a geração de agregações General-Overlap (nGO) e General-Grouping(nGG) via conceitos de funções Overlap e Grouping n-dimensionais, flexibilidade a aplicação em sistemas onde operações de união e intersecção mostram-se mais abrangentes. Estes estudos dão suporte a aplicações no gerenciamento de recursos na Computação em Nuvem (CN), através de discussões sobre uso de novas estratégias no processo de inferência fuzzy da abordagem Int-FLBCC. Este modelo integra conceitos de Lógica Fuzzy Valorada Intervalarmente (IvFL), e comparações via ordens admissíveis.

2. METODOLOGIA

2.1 Fundamentação em Lógica Fuzzy

Considerou-se, inicialmente, a revisão de artigos, priorizando a formalização de sistemas baseados na lógica da Teoria dos Conjuntos Fuzzy. Focamos nas propriedades analíticas que definem os conectivos fuzzy, como negações fuzzy (N), agregadores fuzzy, funções de overlap (O) e grouping (G) (Pekala 2019).

Os agregadores fuzzy são funções monotônicas no intervalo $[0, 1]$ e que preservam as condições de contorno em (Mesiar and Komornikova 1997). Dentre as agregação O-conjuntivas estudamos as general Overlap (GO) e Overlap n-dimensionais (nO) e na classe das disjuntivas, as funções general grouping (GG) e grouping n-dimensionais (nG) (Bustince et al. 2010; Bustince et al. 2012).

Na Tabela 1, reportam-se exemplos de funções General-Overlap (FGO) e sua pertinência à classe O e On. E, na Tabela 2, são apresentados exemplos de funções General-Grouping (FGG) e sua pertinência à classe G e Gn.

Tabela 1. Funções Overlap

Função O (general-overlap)	O	O_n
$O_{mM}(\vec{x}) = \min_{i=1}^n x_i \cdot \max_{i=1}^n x_i^p, p > 0$	✓	✓
$O_{EP}(\vec{x}) = \frac{\prod_{i=1}^n x_i}{1 + \prod_{i=1}^n x_i(1-x_i)}$	✓	✓
$O_S(\vec{x}) = \sin\left(\frac{\pi}{2}\right)\left(\prod_{i=1}^n x_i\right)^p, p > 0$	✓	✓
$O_M(\vec{x}) = \min_{i=1}^n x_i^p, p > 0$	✓	✓
$O_L(\vec{x}) = \max((\sum_{i=1}^n x_i) - (n - 1, 0))$	✗	✗
$O_U(\vec{x}) = \begin{cases} n \prod_{i=1}^n x_i, & \text{se } \prod_{i=1}^n x_i \leq \frac{1}{n}, \\ 1, & \text{caso contrário.} \end{cases}$	✗	✗
$O_G(\vec{x}) = \begin{cases} O_L(\vec{x}), & \text{se } O_L(\vec{x}) \leq \frac{1}{n}, \\ 1, & \text{caso contrário.} \end{cases}$	✗	✗

Tabela 2. Funções Grouping

Função general-grouping G	G	G_n
$G_{EP}(\vec{x}) = 1 - \frac{\sum_{i=1}^n x_i}{1 + \prod_{i=1}^n x_i}$	✓	✓
$G_O(\vec{x}) = \max_{i=1}^n x_i^p, p > 0$	✓	✓
$G_L(\vec{x}) = (1 - \prod_{i=1}^n (1 - x_i)) \min(\sum_{i=1}^n x_i, 1)$	✓	✓
$G_{ML}(\vec{x}) = (1 - \sqrt[n]{\prod_{i=1}^n (1 - x_i)}) \min(\sum_{i=1}^n x_i, 1)$	✓	✓
$G_{LK}(\vec{x}) = \min((\sum_{i=1}^n x_i), 1)$	✓	✗
$G_B(\vec{x}) = \min(1, n - \sum_{i=1}^n (1 - x_i)^2)$	✓	✗
$G_K(\vec{x}) = \begin{cases} 0, & \text{se } \max_{i=1}^n x_i \leq k \\ \frac{1}{1-k} (\max_{i=1}^n x_i - k), & \text{se } 0 \leq k \leq 1 \end{cases}$	✓	✗

Segue a metodologia para geração de GO e GG a partir de funções On e Gn.

Definição 2.1 Sejam $0 \leq a < b \leq 1$ e $A : [0, 1]^n \rightarrow [0, 1]$ uma função de agregação. Então, $A_a^b, A_a, A^b : [0, 1]^n \rightarrow [0, 1]$ são definidas, $\forall \vec{x} = (x_1, \dots, x_n) \in [0, 1]^n$, como:

$$A_a^b(\vec{x}) = \begin{cases} 0, & \text{se } A(\vec{x}) \leq a \\ 1, & \text{se } A(\vec{x}) \geq b \\ \frac{A(\vec{x}) - a}{b - a}, & \text{se } a < A(\vec{x}) < b. \end{cases}$$

E, as proposições abaixo consideram as propriedades de agregações:

- A1: $A(x_1, \dots, x_n) = 0$ se, e somente se, $x_i = 0, \forall i \in N_n$;
- A2: $A(x_1, \dots, x_n) = 0$ se, e somente se $\exists i \in N_n$ tal que $x_i = 1$.
- A3: $A(x_1, \dots, x_n) = 0$ se, e somente se, $\prod_{i=1}^n x_i = 0$;
- A4: $A(x_1, \dots, x_n) = 1$ se, e somente se, $\prod_{i=1}^n x_i = 1$.

Proposição 2.1. Seja $0 \leq a < b \leq 1$ e $O_n : [0, 1]^n \rightarrow [0, 1]$ uma função On. Então:

- (a) O_a^b é uma FGO que não satisfaz (A3) nem (A4).
- (b) O_a é uma FGO que não satisfaz (A3), mas garante (A4).
- (c) O^b é uma FGO que garante (A3), porém não satisfaz (A4).

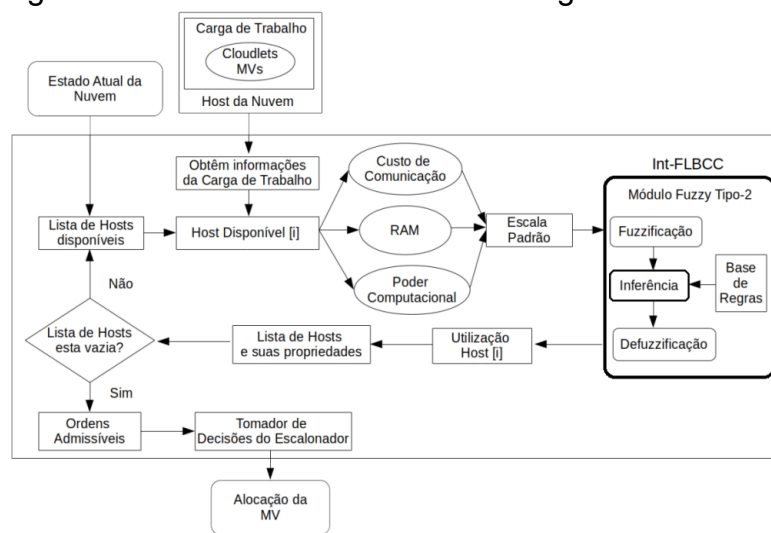
Proposição 2.2. Seja $0 \leq a < b \leq 1$ e $G_n : [0, 1]^n \rightarrow [0, 1]$ uma função Gn. Então:

- (a) G_a^b é uma FGG que não satisfaz (A1) nem (A2);
- (b) G_a é uma FGG que não satisfaz (A1), mas garante (A2);
- (c) G^b é uma FGG que garante (A1) mas não satisfaz (A2).

2.2 Contribuição Tecnológica na Computação em Nuvem

Pela facilidade e agilidade fornecida pela CN, tem-se discussões sobre o consumo energético com relação aos data centers, dado o crescente aumento no consumo mundial (Shehabi et al. 2016). A Int-FLBCC é uma abordagem proposta na literatura voltada para o gerenciamento de recursos, auxiliando na tomada de decisão sobre as migrações de máquinas virtuais (MVs) no ambiente de computação em nuvem, que utiliza da lógica fuzzy tipo-2 intervalar para lidar com incertezas. Na figura 1, é apresentada a visão geral dos processos envolvidos nesta abordagem como proposta em (de Moura 2022).

Figura 1. Fluxograma dos Procedimentos da Abordagem Int-FLBCC



Em sequência aplicam-se estratégias para a extensão de agregadores interpretando uniões e interseções dos conjuntos fuzzy, no processo de inferência do Int-FLBCC, via abordagem IvFL. Tais estratégias são extensões, previamente apresentadas em (Dimuro et al. 2011).

Sejam $f: [0,1]^n \rightarrow [0,1]$ função de agregação, $N: [0,1] \rightarrow [0,1]$ uma negação. Define-se a construção N-dual de F como a função $F_N: [0,1]^n \rightarrow [0,1]$ dada pela expressão $F_N(x_1, x_2, \dots, x_n) = N(F(N(x_1), N(x_2), \dots, N(x_n)))$.

Dentre as funções abordadas, destaca-se as extensões intervalares, descritas a seguir, obtidas via Definição 2.1, a partir das funções general-overlap e general-grouping geradas por funções O e G , respectivamente.

$$(O_m)^{\frac{3}{4}}(X, Y) = \begin{cases} \frac{4}{3} [\sqrt{X}, \sqrt{Y}], & \text{se } \bar{X} \leq \underline{Y} \text{ e } \bar{X} \leq \frac{9}{16}; \\ \frac{4}{3} [\sqrt{\underline{Y}}, \sqrt{\bar{Y}}], & \text{se } \bar{Y} \leq \underline{X} \text{ e } \bar{Y} \leq \frac{9}{16}; \\ 1, & \text{se } \underline{X} > \frac{9}{16} \text{ e } \underline{Y} > \frac{9}{16}. \end{cases}$$

$$(G_m)^{\frac{3}{4}}(X, Y) = \begin{cases} 0, & \text{se } X = Y = 0 \\ 1, & \text{se } \bar{X} \geq \frac{15}{16} \text{ e } \bar{Y} \geq \frac{15}{16}; \\ \frac{4}{3} [1 - \min(\sqrt{1-\underline{X}}, \sqrt{1-\bar{Y}}), 1 - \min(\sqrt{1-\bar{X}}, \sqrt{1-\bar{Y}})], & \text{caso contrário.} \end{cases}$$

3. RESULTADOS E DISCUSSÃO

Operadores de projeção dos dados intervalares viabilizam a extensão dos conectivos fuzzy na abordagem Int-FLBCC, considerando análise de diferentes combinações de agregadores na etapa de inferência do sistema de suporte ao controlador fuzzy. As aplicações totalizam 18 combinações modeladas por pares de agregações N-duais, englobando funções overlap e grouping, em classes conjuntiva/disjuntiva, t-normas e t-conormas, como as descritas na Tabela 3. A combinação usual para uniões e intersecções é interpretada pelo par OM e GM.

Tabela 3. Agregadores Fuzzy utilizados nas simulações.

A	Inter	União	A	Inter	União	A	Inter	União
1	\mathbb{O}_2	G_V	7	\mathbb{A}	G_V	13	\mathbb{O}_{2DB}	G_{2DB}
2	\mathbb{O}_M		8	\mathbb{T}_L	G_V	14	\mathbb{O}_{Mix}	G_{Mix}
3	\mathbb{O}_{DB}		9	\mathbb{O}_2	G_2	15	\mathbb{A}	ANS
4	\mathbb{O}_M		10	\mathbb{O}_M	G_M	16	\mathbb{T}_L	S_L
5	\mathbb{O}_{2DB}		11	\mathbb{O}_{DB}	G_{DB}	17	\mathbb{O}_\wedge	G_\wedge
6	\mathbb{O}_{Mix}		12	\mathbb{O}_M	G_{M3}	18	$\mathbb{O}_m^{\frac{3}{4}}$	$G_m^{\frac{3}{4}}$

As simulações compreendem os algoritmos Inter Quartile Range (IQR), Local Robust Regression (LRR), Median Absolute Deviation (MAD) e Static Threshold (THR), e as métricas Consumo Energético (CE), Número de Máquinas Virtuais Migradas (MVM) e Violation do Service Level Agreements (SLA)[1]. A avaliação está dividida em duas partes: aplicar as métricas individualmente e, as médias geradas ao considerar as três métricas, utilizando da média ponderada para os resultados.

Nas Tabelas 4, 5, 6 e 7 são apresentados os resultados das simulações para cada uma das métricas.

Tabela 4. Métrica CE

Rank	Consumo Energético									
	Algoritmo					Métrica Geral				
	IQR		CE		LRR		AL		Valor	
1	18	110.25	18	92.67	18	108.59	18	110.57	18	105.52
2	11	126.57	15	120.52	11	125.37	4	759.89	9	283.77
3	13	126.79	16	120.85	16	125.39	5	759.98	1	283.95
4	12	127.07	8	120.92	1	125.40	9	760.34	16	284.00
5	2	127.20	9	120.98	9	125.47	2	760.71	11	284.06
6	6	127.55	6	121.09	14	126.09	1	761.10	4	284.07
7	10	127.57	11	121.15	4	126.21	16	761.39	5	284.10
8	1	127.85	17	121.29	8	126.23	3	761.71	15	284.33
9	17	128.09	4	121.30	15	126.31	15	761.86	2	284.36
10	9	128.31	5	121.30	3	126.62	12	761.94	12	284.39
11	16	128.39	7	121.31	13	126.72	7	761.98	13	284.48
12	8	128.53	10	121.31	6	126.89	13	762.49	17	284.78
13	5	128.57	2	121.38	5	126.94	17	762.64	14	284.78
14	15	128.64	12	121.41	17	127.11	14	762.68	3	284.84
15	4	128.90	1	121.43	12	127.15	11	763.16	6	284.93
16	14	128.90	14	121.48	10	127.18	6	764.18	7	285.02
17	3	129.44	3	121.58	7	127.22	8	764.50	8	285.04
18	7	129.57	13	121.91	2	128.14	10	764.71	10	285.19

Tabela 5. Métrica MVM

Rank	Número de Máquinas Virtuais Migradas									
	Algoritmo					Métrica Geral				
	IQR		CE		LRR		AL		Valor	
1	10	7703	17	4337	5	7091	16	429	17	4915
2	12	7748	1	4374	17	7142	7	429	5	4935
3	17	7748	8	4413	16	7147	13	430	10	4973
4	5	7765	9	4418	14	7157	17	432	12	4986
5	8	7801	11	4433	11	7167	9	432	8	5029
6	2	7836	5	4438	10	7275	8	432	11	5039
7	3	8029	7	4438	12	7283	1	433	2	5046
8	14	8049	2	4448	3	7307	10	433	16	5051
9	4	8051	3	4469	7	7344	14	433	1	5055
10	15	8053	4	4477	1	7356	12	435	14	5056
11	1	8059	6	4477	13	7360	6	438	3	5063
12	13	8072	12	4478	6	7377	15	439	13	5088
13	11	8115	10	4480	2	7458	11	441	6	5106
14	16	8121	13	4491	4	7466	2	444	4	5110
15	6	8133	16	4507	8	7470	5	445	7	5130
16	9	8238	15	4514	9	7476	4	445	15	5131
17	7	8310	14	4584	15	7517	3	448	9	5141
18	18	24559	18	8758	18	24062	18	26638	18	21004

[1] SHEHABI, A. et al. United states data center energy usage report., [S.I.], 2016.

Tabela 6. Métrica SLA

Rank	Média de Violação do SLA							
	Algoritmo				Métrica Geral			
	IQR	LRR	MAD	THR	AL	SLAV	AL	Valor
AL	SLAV	AL	SLAV	AL	SLAV	AL	SLAV	AL
1	8.70	11	9.13	5	8.82	18	9.86	17
2	8.72	9	8.14	14	8.86	17	11.49	3
3	8.74	17	8.17	7	8.86	3	11.50	5
4	8.75	7	8.18	8	8.87	1	11.66	1
5	8.76	13	8.19	9	8.87	10	11.68	10
6	8.76	16	8.20	10	8.88	5	11.71	18
7	8.77	4	8.21	12	8.88	15	11.71	4
8	8.78	5	8.21	2	8.89	4	11.76	9
9	8.78	3	8.22	17	8.89	14	11.77	11
10	8.80	15	8.23	4	8.90	11	11.82	15
11	8.80	10	8.23	6	8.91	16	11.90	14
12	8.80	1	8.23	1	8.96	7	11.95	9
13	8.81	12	8.27	3	8.96	9	11.98	16
14	8.82	8	8.30	16	8.98	12	12.00	12
15	8.83	6	8.34	13	8.98	8	12.05	8
16	8.85	2	8.34	11	8.99	13	12.24	13
17	8.90	14	8.35	15	9.01	6	12.36	6
18	9.56	18	8.71	18	9.54	2	12.50	2

Tabela 7. Combinação das Três Métricas

Rank	Algoritmo		LRR	MAD	THR		
	AL	Média					
1	2	12.81	1	13.05	14	12.99	18
2	14	12.85	11	13.09	8	13.01	16
3	7	13.05	3	13.20	3	13.09	17
4	3	13.13	17	13.20	12	13.11	14
5	6	13.17	5	13.26	2	13.13	9
6	18	13.39	4	13.30	18	13.13	13
7	13	13.64	8	13.30	5	13.13	7
8	9	13.71	7	13.33	16	13.16	8
9	12	13.73	9	13.38	17	13.20	10
10	8	14.28	6	13.43	7	13.23	1
11	5	14.29	10	13.43	11	13.23	12
12	1	14.39	12	13.44	1	13.24	15
13	4	14.51	13	13.52	13	13.34	6
14	17	14.55	14	13.58	6	13.34	11
15	16	14.63	16	13.66	10	13.46	5
16	15	14.65	18	13.67	15	13.48	4
17	10	14.66	15	13.74	4	13.52	2
18	11	14.74	2	13.75	9	13.56	3

Com relação à eficiência energética, observa-se que o par 18 ($O^{3/4}m$ e $G^{3/4}m$) definido por uma função GO gerada por funções nO e sua construção N-dual obteve posicionamento entre as melhores médias gerais nas execuções de todos os algoritmos. Entretanto, as demais simulações mostram que este par de operadores apresentou grande violação do SLA e alto número de migração de MVs, o que o coloca na última posição de classificação. Ademais, percebe-se que para o algoritmo THR tem-se destaque para os pares de agregadores 18, 17 e 3. Na segunda etapa, os pares de agregadores 14 e 3 obtiveram destaque, com duas ocorrências cada nas três primeiras posições. Já o par 18 ficou na primeira posição quando uso do THR.

4. CONCLUSÕES

O trabalho reflete contribuição do estudo de novas estratégias visando o menor consumo de recursos e ainda assim obter um ótimo desempenho. Obtiveram-se resultados importantes a respeito da geração de funções overlap e grouping, bem como a introdução e uso de metodologias para a geração de funções general-overlap e general-grouping a partir de funções n-dimensionais.

Ademais, as metodologias usadas na construção de agregadores para utilização no processo de inferência na abordagem Int-FLBCC, mostram resultados significativos na simulação, considerados a relação entre o consumo energético e a média geral das análises. No entanto, demonstraram também a dificuldade de se encontrar uma combinação com ótimo desempenho em relação a todos os requisitos necessários e evidenciaram a importância da continuidade da busca de novas combinações no contexto de sistemas de inferência fuzzy.

5. REFERÊNCIAS BIBLIOGRÁFICAS

- BUSTINCE, H. et al. Grouping, Overlap, and Generalized Bientropic Functions for Fuzzy Modeling of Pairwise Comparisons. *IEEE Trans. Fuzzy Syst.*, v.20, n.3,p.405–415, 2012.
- BUSTINCE, H.; TARTAS, E. B.; PAGOLA, M.; FERNÁNDEZ, J. Interval-valued fuzzy sets constructed from matrices: Application to edge detection. *Fuzzy Sets Systems*, [S.I.], v.160, n.13, p.1819–1840, 2009.
- DE MOURA, B. M. P. de. *Uma Abordagem Flexível para Consolidação Dinâmica de Servidores na Computação em Nuvem Explorando Lógica Fuzzy Valorada Intervalarmente*. 2022. 122p. Trabalho de Conclusão (Doutorado em Ciência da Computação) — CDTEC, UFPEL, Pelotas.
- MESIAR, R.; KOMORNÍKOVA, M. Aggregation operators. *Proc. XI Conference on applied Mathematics PRIM 96*, [S.I.], p.193–211, 1997.
- MOORE, R. E. *Methods and Applications of Interval Analysis*. Philadelphia, PA, USA: Society for Industrial and Applied Mathematics, 1979. xi + 190p.
- PEKALA, B. *Uncertainty Data in Interval-Valued Fuzzy Set Theory - Properties, Algorithms and Applications*. [S.I.]: Springer, 2019. (Studies in Fuzziness and Soft Computing, v.367).